

საქართველოს ტექნიკური უნივერსიტეტი

ხელნაწერის უფლებით

პარტა ბარბაშაძე

წევის გაანგარიშების ანალიზური მეთოდის სრულყოფა

სპეციალობა – ”სარკინიგზო ტრანსპორტის ექსპლუატაცია”

დოქტორის აკადემიური ხარისხის მოსაპოვებლად წარდგენილი
დისერტაციის

ა ვ ტ ო რ ე ვ ე რ ა ტ ი

თბილისი 2012 წ.

სადისერტაციო ნაშრომი შესრულებულია საქართველოს ტექნიკური
უნივერსიტეტის სატრანსპორტო და მანქანათმშენებლობის ფაკულტეტის
ელექტრული ტრანსპორტის №62 მიმართულებაზე

სამეცნიერო ხელმძღვანელი: სრული პროფესორი
სერგო კარიბიძისი

რეცენზები: სრული პროფესორი
პეტრე ქეჩაძე

ტ. მ. პ. უფრ. მეცნ. მუშაკი
არჩილ ზერეკიძე

დისერტაციის დაცვა შედგება 2012 წ. “-----” -----, “-----”
საათზე, საქართველოს ტექნიკური უნივერსიტეტის სატრანსპორტო და
მანქანათმშენებლობის ფაკულტეტის სადისერტაციო ----- კოლეგის
სხდომაზე

მისამართი: 0175, ქ. თბილისი, კოსტავას 77, I კორპუსი,
აუდიტორია № -----

დისერტაციის გაცნობა შეიძლება საქართველოს ტექნიკური უნივერსიტეტის
ცენტრალურ სამეცნიერო ბიბლიოთეკაში.

ავტორეფერატი დაიგზავნა “-----”----- 2012 წ.

სადისერტაციო საბჭოს სწავლული
მდივანი, ასოცირებული პროფესორი

რ. გელიჯანაშვილი

სამუშაოს ზოგადი დახასიათება

ნაშრომის აქტუალურობა წევის გაანგარიშებას საფუძვლად უდევს მოძრაობის არაწრფივი დიფერენციალური განტოლების ინტეგრირება. რადგან მოძრაობის განტოლებები არაწრფივია და დღემდე მსგავსი განტოლებების ამოხსნა შეუძლებელია ისეთი ფორმით, როგორც ეს ხდება წრფივი დიფერენციალური განტოლებების შემთხვევაში, ბევრი სპეციალისტი მიმართავდა და დღესაც მიმართავს ყველა ტიპის მიახლოებით (ასიმპტოტურ) მეთოდებს. გარდა ამისა სხვადასხვა შეზღუდვების გამო, როგორიცაა ჩაჭიდება, წევის ძრავის ველის შესუსტება და ა.შ. რეზულტირებული წევის მახასიათებელის ნაწილს დამატებით ხდის არაწრფივი ფორმის მქონეს, რაც დამატებით პრობლემებს ქმნის ამოცანის გადაწვეტისას. ამ მიზეზით, სამწუხაროდ, დიფერენციალური განტოლების ინტეგრირების ძირითად მეთოდს წარმოადგენს გრაფო-ანალიზური (საანგარიშო-გრაფიკული) მეთოდები.

ელ. წევის თეორიის შემსწავლელ ლიტერატურაში აღწერილია ეს მეთოდები როგორც ერთადერთი და უალტერნატივო. XXI საუკუნეში, როცა კომპიუტერული ტექნიკა მკვიდრდება ადამიანის მოღვაწეობის ყველა სფეროში, აუცილებელია აქცენტი გაკეთდეს ახალ მეთოდებზე თანამედროვე ე.გ.მ.-ის გამოყენებით. აღსანიშნავია, რომ ცნობილი გზით ამაჩქარებელი და შემანელებელი ძალის აპროქსიმაცია ვერ უზრუნველყობს რეალური მრუდის ზუსტ ცვლილებას და თანაც ინტეგრირების შედეგად საბოლოოდ მივდივართ რთულ გამოსახულებებამდე, რომელიც უვარგისია გამოთვლითი პროცესის ჩასატარებლად, მათ შორის ე.გ.მ.-ის გამოყენებით, რთული მონაცემთა ბაზის გამო. დიდი რაოდენობის ცვლადების არსებობა მონაცემთა ბაზის ბიბლიოთებაში და ამ ცვლადების საჭირო დროს სწორი ურთიერთკავშირის მოძიება ფაქტიურად შეუძლებელია კვალიფიციური პროგრამისტის გარეშე. დღეს არსებული ანალიზური გამოსახულებები არ არიან უნივერსალური ხასიათის მქონენ და ამაჩქარებელი და შემანელებელი ძალების ფორმულები ას წელზე მეტია მოცემულია ხვედრით ერთულებში (კგმ/ტ). არსებული მეთოდებით გაანგარიშების წარმოება ე.გ.მ.-ზე საჭიროებს სპეციალური გადამყვანი კოეფიციენტების მოძიებას,

რომელიც დღემდე სსრკ-ის გზათა მიმოსვლის სამინისტროს მიერ რეკომენდებულია ცხრილის სახით, რაც ასევე ერთგვარ პრობლემას ქმნის პროგრამირების პროცესში. ამ მიზეზთა გამო გაცილებით ადგილია ანალიზური მეთოდების ნაცვლად გრაფო-ანალიზური ან სუფთა გრაფიკული მეთოდებით ანგარიშების ჩატარება, რომლებიც სიზუსტით საკმარისია პრაქტიკული გაანგარიშებებისათვის.

აღნიშნულიდან გამომდინარე არსებული პრობლემის გადაწყვეტა და მარტივი და ზუსტი აპროქსიმაციის გზით მიღებული ანალიზური გამოსახულებების გამოყენება პრაქტიკულ ანგარიშებში ე.გ.მ.-ის გამოყენებით მეტად აქტუალურ მეცნიერულ პრობლემას წარმოადგენს.

სამუშაოს მიზანია ახალი ანალიზური მეთოდის სიზუსტის შემოწმება და მისი მეშვეობით წევის გაანგარიშების ჩატარება ე.გ.მ.-ზე რაც სამომავლოდ საშუალებას მოგვცემს წევის ანგარიშები ტრადიციული “მილიმეტროგების” ნაცვლად მარტივად, საკმარისი სიზუსტით ვაწარმოოთ თანამედროვე პერსონალური კომპიუტერების გამოყენებით.

მითითებული მიზნის მისაღწევად გადაჭრილ იქნა შემდეგი **მირითადი ამოცანები:**

- შესწავლილ იქნა მატარებლის მოძრაობის დიფერენციალური განტოლების ინტეგრირების ყველა ცნობილი მეთოდი.
- გაანალიზებულ იქნა ცნობილი მეცნიერების მიდგომა ამაჩქარებელი და შემანელებელი ძალების მრუდების აპროქსიმაციის საკითხებში.
- დამუშავებულ იქნა წილად-წრფივი ფუნქციით ამაჩქარებელი და შემანელებელი ძალების აპროქსიმაცია.
- აბსოლუტური ერთეულების ნაცვლად ფარდობითი ერთეულების გამოყენების მეთოდიკა მოძრაობის დიფერენციალური განტოლების ანალიზურად გადაწყვეტისას.
- პრაქტიკულად რეალიზებულ იქნა თანამედროვე ე.გ.მ.-ის გამოყენებით მოძრაობის მრუდების აგების პროცესი.

კვლევის ობიექტი დაფუძნებულია მატარებლის მოძრაობის დიფერენციალური განტოლების ინტეგრირებაზე ანალიზური სახით, ისეთი ფორმით, რომ ის მოსახერხებელი იყოს საკმარისი სიზუსტით

მარტივად გაწარმოოთ გაანგარიშებები თანამედროვე პერსონალური კომპიუტერის გამოყენებით.

ნაშრომის მუცნიერული სიახლე

- გაანალიზებულია მატარებლის მოძრაობის დიფერენციალური განტოლების ინტეგრირების გრაფიკული და ანალიზური მეთოდები, გამოვლენილია მათი დადებითი და უარყოფითი მხარეები.

- შეთავაზებულია სრულიად ახალი ანალიზური მეთოდი და დასახულია გზები აღნიშნული მეთოდის პრაქტიკული განვითარებისათვის.

- მიზანშეწონილია მატარებლის მოძრაობის დიფერენციალური განტოლების გადაწყვეტა მოხდეს ფარდობით ერთეულებში, რათა შევამციროთ მოსალოდნელი შეცდომების ალბათობა და უარი ვთქვათ გადამყვანი კოეფიციენტების გამოყენებაზე, რომლებიც რეკომენდებულია ცხრილების სახით. ფარდობითი ერთეულების გამოყენება ამოსსნის შედეგებს უნივერსალური ხასიათის მქონედ აქცევს, ვარგისს ნებისმიერი გამოთვლებისათვის როგორც პერსონალური კომპიუტერის, ისე მინიატურული გამოთვლითი მანქანების გამოყენებით, რომლებსაც გააჩნიათ ელემენტალური ფუნქციები.

- ამაჩქარებელი და შემანელებელი ძალების მრუდების აპროქსიმაცია მოვახდინოთ წილად-წრფივი ფუნქციით, რომელიც სხვა ცნობილ ფუნქციებზე უკეთ ახდენს რეალური მრუდის ცვლილებას და საბოლოოდ ინტეგრირების შემდეგ მარტივად მივყავარათ მარტივ გამოსახულებებამდე.

- თანამედროვე ე.გ.მ.-ის გამოყენებით მოყვანილია შეთავაზებული ანალიზური მეთოდით ელექტრული წევის ანგარიში.

დისერტაციის პრაქტიკული დირექტულება

ე.გ.მ.-ის გამოყენებით წევის გაანგარიშების საშუალებას იძლევა საბოლოოდ ვთქვათ უარი ე.წ. შაბლონების და “მილიმეტროგრამების” გამოყენებაზე, რაც მნიშვნელოვნად ზრდის შრომის ნაყოფიერებას, გაანგარიშების პროცესს ხდის საინტერესოს და არაა საჭირო მოვახდინოთ გეომეტრიული მანიპულაციებით მიღებული მრუდების საქმაოდ შრომატევადი ანალიზი. ე.გ.მ.-ი იძლევა საშუალებას უმოკლეს ვადაში მივიღოთ დამუშავებული სახით საჭირო ინფორმაცია და ამით დაგზოგოთ ძვირადღირებული დრო. მატარებლის მოძრაობის საჭირო

რეჟიმის არჩევა საშუალებას იძლევა ავტომატურ რეჟიმში განვსაზღვროთ მოძრაობის დრო, მოხმარებული ელ. ენერგია, მივიღოთ ინფორმაცია ძრავის გახურების ტემპერატურაზე და, თუ საჭიროა, დროულად განვახორციელოთ მოძრაობის რეჟიმის ცვლილება, რათა შენარჩუნებულ იქნას ლოკომოტივის ნორმალური საექსპლუატაციო პირობები.

ნაშრომის აპრობაცია

სადისერტაციო ნაშრომის ძირითადი დებულებები მოხსენებული და განხილულ იქნა: საქართველოს ტექნიკური უნივერსიტეტის სტუდენტთა 76-ე და 78-ე ლია სამეცნიერო-ტექნიკური კონფერენციების სხდომებზე (2008, 2010წ.წ.); საქართველოს ტექნიკური უნივერსიტეტის “ელექტრული ტრანსპორტის” №62 მიმართულების სხდომებზე (2008, 2009, 2010 წ.წ.)

პუბლიკაცია

დისერტაციის მასალების მიხედვით გამოქვეყნებულია 5 სამეცნიერო ნაშრომი.

ნაშრომის სტრუქტურა და მოცულობა. დისერტაცია შედგება შესაგლის, 2 ნაწილის, 2 თაგის, დასკვნების და გამოყენებული ლიტერატურის სიისაგან. ნაშრომი შეიცავს კომპიუტერზე დაბეჭდილ 154 გვერდს, მათ შორის 13 ცხრილს და 51 ნახაზს.

ნაშრომის მოკლე შინაარსი

შესავალში ნაჩვენებია ნაშრომის აქტუალობა, მიზანი, ძირითადი ამოცანები, მეცნიერული სიახლე და მოკლედაა გადმოცემული სამუშაოს არსი.

პირველ თავში განხილულია და გაანალიზებულია არსებული ლიტერატურული წყაროები, რომელიც ეხება წევის გაანგარიშების არსებულ მეთოდს და მოიცავს მატარებლის მოძრაობის განტოლების რაობას, მბრუნავი ნაწილების ინერციის კოეფიციენტის განსაზღვრას, მოძრაობის განტოლების გარდაქმნას პრაქტიკული გაანგარიშებისათვის. საუბარია მატარებლის მოძრაობის განტოლების გამოყენებაზე მოძრაობის რეჟიმების ანალიზისათვის, მოყვანილია

მოძრაობის მრუდების გაანგარიშების საერთო პრინციპები და განხილულია მოძრაობის განტოლების ინტეგრირების საკითხები.

მუორე თავში მოყვანილია წევის გაანგარიშების შეთავაზებული მეთოდი, როგორც ფარდობით, ისე აბსოლუტურ ერთეულებში გამოთვლების ჩატარების დროს და აღწერილია მათი მეთოდიკა.

ფარდობითი ერთეულები გაცილებით ამარტივებენ დიფერენციალური განტოლებების სისტემას, რომელიც აღწერს გამოსაკვლევ ფიზიკურ პროცესს. აღნიშნულის მეშვეობით მინიმუმამდე დაიყვანება განტოლებაში შემავალი პარამეტრების რაოდენობა, რაც გარკვეულ-წილად ამარტივებს რიცხობრივ გაანგარიშებას, ამასთან შეცდომების ალბათობა გაცილებით მცირდება, რადგანაც ყოველი სიდიდის განლაგება ჩვეულებრივ ცნობილია. როგორც წესი, ამ შემთხვევაში გამოსაკვლევი სიდიდის მნიშვნელობა ერთთან ახლოსაა, რაც განსაკუთრებით მნიშვნელოვანია ე-გმ.-ის გამოყენებისას. უგანზომილებო სიდიდეების უბრალო ჩასმები იძლევა გაცილებით მეტ ინფორმაციას მოვლენების არსის შესახებ, რომელიც მიმდინარეობს ამა თუ იმ ობიექტში, ვიდრე განზომილებიანი სიდიდეების ანალიზი. ანალიზური ან გრაფიკული გადაწყვეტა ამოსავალი დიფერენციალური განტოლებისა ფარდობით ერთეულებში ხდის ამოსსნის რეზულტატებს უნივერსალურს, გარგისს გაანგარიშების მრავალი ვარიანტისათვის.

საყოველთაოდ ცნობილია ფარდობითი ერთეულების გამოყენება მსგავსების თეორიაში ამ დროს ცვლადების საბაზისო მნიშვნელობებად შეიძლება გამოყენებულ იქნეს მათი ნომინალური სიდიდეები, ანდა სხვა სიდიდეები, რომელიც ახასიათებს სისტემის ამა თუ იმ რეჟიმს (მაგალითად სათაური) ჩვენს შემთხვევაში ფარდობით ერთეულებში გადასვლა პრინციპში შესაძლებელია განვახორციელოთ უშუალოდ ძირითადი დიფერენციალური განტოლების ამოსსნიდან, ჩაწერილს აბსოლუტურ ერთეულებში, შესაბამისი ცვლადის გაყოფით საკუთარ ბაზისურ მნიშვნელობაზე. თუმცა ასეთი გადასვლა რამდენადმე ართულებს ამოცანას, რადგანაც დღემდე არსებული ემპირიული ფორმულები ხვედრითი ძალებისათვის წინააღმდეგობა "W" და დამუხრუჭება "B" მოიცემა ხვედრით ერთეულებში კგმ./ტ. ამ მიზეზით მიზანშეწონილია

ფარდობით ერთეულებზე გადასვლა, გამოვდივართ რა ხვედრითი ძალებისათვის დაწერილი განტოლებებიდან.

ჩვენს შემთხვევაში ფარდობით ერთეულებში გადასვლა პრინციპში შესაძლებელია განვახორციელოთ უშუალოდ ძირითადი დიფერენციალური განტოლების ამოხსნიდან, რომელიც ჩაწერილია აბსოლუტურ ერთეულებში, შესაბამისი ცვლადის გაყოფით საკუთარ ბაზისურ მნიშვნელობაზე. თუმცა ასეთი გადასვლა რამდენადმე ართულებს ამოცანას, რადგანაც დღემდე არსებული ემპირიული ფორმულები ხვედრითი ძალებისათვის წინააღმდეგობა „W“ და დამუხრუჭება „B“-თვის მოიცემა ხვედრით ერთეულებში კგძ./ტ. ამ მიზეზით მიზანშეწონილია გადასვლა ფარდობით ერთეულებზე, გამოვდივართ რა ხვედრითი ძალებისათვის დაწერილი განტოლებებიდან:

$$10^3 \cdot \frac{(1+\gamma)}{g} \cdot \frac{dv}{dt} = \frac{F - W}{P + Q} = f - W \quad (1)$$

$$10^3 \cdot \frac{(1+\gamma)}{g} \cdot V \cdot \frac{dv}{ds} = \frac{F - W}{P + Q} = f - W \quad (2)$$

სადაც V, S, F, W – სიჩქარის, გავლილი მანძილის, წევის ძალის და მატარებლის ძირითადი წინააღმდეგობის აბსოლიტური მნიშვნელობებია; P, Q – ლოკომოტივის და ვაგონის მასაა ტ;

თუ მივიღებთ აღნიშვნებს:

$$\begin{aligned} \frac{F}{F_6} &= \frac{f}{f_6} = f^*; \quad \frac{W}{f_6} = W^* \\ y &= \frac{v}{v_6}; \quad x = \frac{S}{S_6}; \quad f = \frac{F_6}{P+Q}; \quad \frac{dx}{d\tau} = y; \\ T_M &= \frac{10^3 \cdot (1+\gamma)}{g} \cdot \frac{V_6}{f_6}; \quad S_6 = V_6 \cdot T_6; \quad \tau = \frac{t}{T_M}; \end{aligned} \quad (3)$$

(1) და (2) განტოლებებიდან ფარდობით ერთეულებში, როგორც არაწრფივ სისტემათა თეორიაშია მიღებული შეიძლება დავწეროთ:

$$\frac{dy}{d\tau} = f^* - W^* = Q(x, y) \quad (4)$$

$$\frac{dx}{d\tau} = P(x, y) = y \quad (5)$$

$$y = \frac{dy}{dx} = f^* - W^* = \frac{Q(x, y)}{P(x, y)} \quad (6)$$

(4) და (6) ში : *-სათვის აუცილებელია მხედველობაში გვქონდეს:

$$W^* = \frac{W}{F_6} = \frac{a+b \cdot V + c \cdot V^2}{F_6} = \frac{a}{f_6} + \frac{b}{f_6} V_6 \cdot y + \frac{c \cdot V_6^2}{f_6} \cdot y^2 = a_1 + b_1 \cdot y + C_1 \cdot y^2 \quad (7)$$

$$\text{სადაც } a_1 = \frac{a}{f_6}; \quad b_1 = \frac{b}{f_6} V_6; \quad c_1 = \frac{c}{f_6} V_6^2$$

როგორც (4) და (6)-დან ჩანს, მათში არ არის არანაირი კოეფიციენტი. ფიზიკური სიდიდეების საჭირო ერთეულებში მისაღებად საჭიროა ვისარგებლოთ (3) გამოსახულბით. ასე მაგალითად, თუ აჩქარება $g=9,81\text{m}/\text{s}^2$ -ს გავზომავთ g/m^2 -ში, მაშინ T_M გამოჩნდება რიცხვი 127000 ნაცვლად 9,81-ის, შეიცვლება ასევე $S = V_6 T_6$

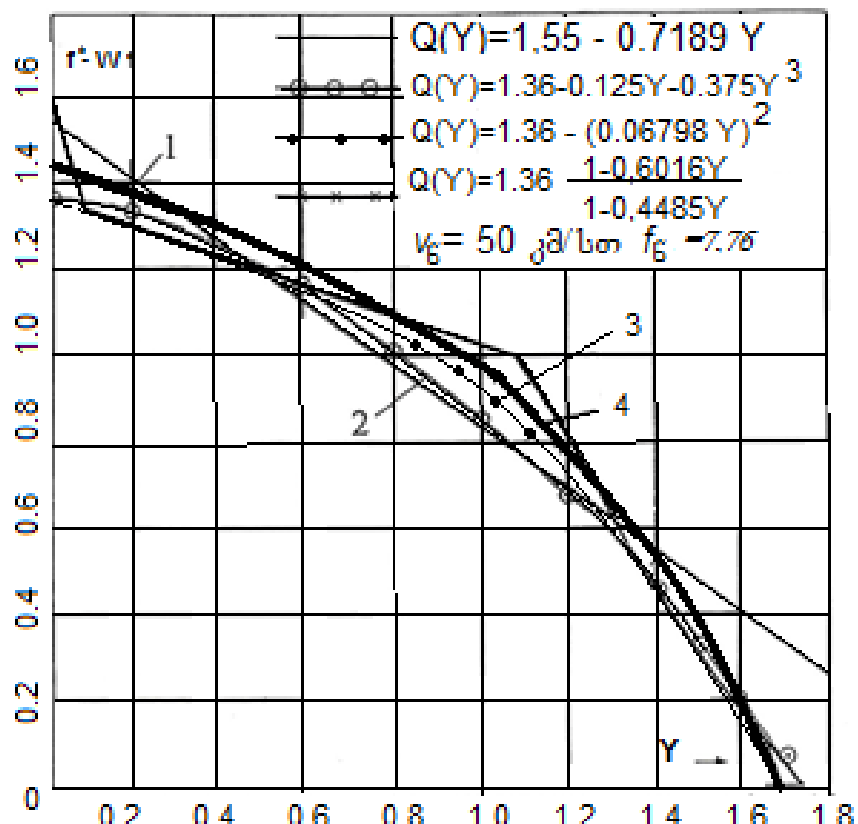
რა ერთეულებში იქნება გამოსახული ბაზისური სიდიდეები, იმავე ერთეულებში იქნებიან თავად ცვლადები. გარდა ამისა, გრაფიკულ და გრაფო-ანალიზური ხერხებით ამოხსნა (4) (6)-ის არაა საჭირო. არაა აუცილებელი მასშტაბების შერჩევა, რადგანაც ყველა ცვლადი გამოსახულია წილობრივ ერთეულებში და აქვთ ერთი და იგივე მასშტაბი. გამოსახულება (6) წარმოადგენს ფიზიკური ტრაექტორიის დიფერენციალურ გამოსახულებებს, ფიზიკურ Y და X სიბრტყეში და მათი ამონახსნი მთლიანად დამოკიდებულია ფუნქციაზე $\frac{Q(x, y)}{P(x, y)}$. იმ შემთხვევაში, როცა ანალიზურად (6) შეუძლებელია ამოვხსნათ, მაშინ მიმართავენ ცნობილ გრაფო-ანალიზურ მეთოდს იზოკლინას ან “დელტა” მეთოდს რომელიც ფართოდ გამოიყენება არაწრფივი სისტემების გამოკვლევაში.

ამოცანის ანალიზური გადაწყვეტისათვის აუცილებელია შეირჩეს მარტივი ფუნქცია, რომელიც კარგად მოახდენს არაწრფივი დამოკიდებულების აპროქსიმაციას.

$Q(Y) = f^* - W^*$ ამასთან მარტივად ინტეგრირდება და იძლევა საშუალებას ინტეგრირების შემდეგ მივიღოთ მარტივი ფორმულები, შესაბამისად ჩატარდეს მარტივი გაანგარიშებები.

სხვადასხვა დროს, სხვადასხვა ავტორის მიერ შეთავაზებულ იქნა სხვადასხვა ფუნქციები, რომლებიც მთლიანად ან ნაწილობრივ ახდენდა

$Q(Y)$ არაწრფივი დამოკიდებულების აპროქსიმაციას მაგალითად, მთლიანად წრფის, სამწევრა პარაბოლის და ა.შ. სახით. ყველა ამ მეთოდმა დღემდე ვერ ნახა პრაქტიკული გამოყენება უზუსტობის და საბოლოო ფორმულების სირთულის გამო.



ნახ. 1. წევის მახასიათებელი ფარდობით ერთეულებში და მისი აპროქსიმაციის სხვადასხვა გარიანტი

ნახ. (1)-ზე კოორდინატებში ($f^* - W^*$) და Y ფარდობით ერთეულებში მოყვანილია ВЛ10 ელექტრომავლის $Q(Y)$ დამოკიდებულება შემადგენლობის საერთო წონით 5000ტ (ცხიმოვანი რელსი). აქვე ნაჩვენებია $Q(Y)$ -ის ერთი წრფით ($f_m - k \cdot y$) და პარაბოლით $a' \cdot y^2 + b' \cdot y + c'$ (მრუდი 2). როგორც სურათიდან ჩანს, ნაჩვენები მრუდები შორსაა რეალური დამოკიდებულებისაგან $Q(Y)$.

სადისერტაციო ნაშრომში შეთავაზებულია წილად-წრფივი ფუნქციის გამოყენება, რომელიც სხვა ფუნქციებზე უკეთ ახდენს არაწრფივი $Q(Y)$ დამოკიდებულების აპროქსიმაციას და ინტეგრირების შემდეგ გვაძლევს მარტივ გამოსახულებებს, რომელიც მოსახერხებელია

გამოთვლების ჩასატარებლად თანამედროვე კალკულატორის გამოყენებით, რომლებსაც გააჩნია ელემენტალური ფუნქციები. მითითებულ ფუნქციას შემდეგი სახე აქვს:

$$Q(y) = f_m \cdot \frac{1-a \cdot y}{1-b \cdot y} \quad (8)$$

სადაც f_m , a და b კოეფიციენტები, განისაზღვრება საცდელი წერტილების საფუძველზე შემდეგი დამოკიდებულებებით:

$$b = \frac{f_0}{(f_2 - f_1)} \cdot \frac{A_1 \cdot y_2 - A_2 \cdot y_1}{y_1 \cdot y_2}; \quad a = \frac{1}{y_1} [A_1 + \frac{f_1}{f_0} \cdot y_1 \cdot b] \quad (9)$$

$$\text{სადაც } A_1 = \frac{f_0 - f_1}{f_0}; \quad A_2 = \frac{f_0 - f_2}{f_0};$$

$$f_0 \text{ განისაზღვრება (8)-დან, როცა } y=0; \quad f = f_0$$

როგორც ნახ. 2.1-დან ჩანს, მრუდი, რომელიც შეესაბამება (8), ძალიან ახლოსაა $Q(Y)$. ქანობის გათვალისწინება (8)-ში ხდება შემდეგი გამოსახულების საფუძველზე:

$$Q(y) \pm i = f_0 \cdot \frac{1-a \cdot y}{1-b \cdot y} \pm i \quad (10)$$

უბრალო გარდაქმნების ჩატარებით (7 . 10) საბოლოოდ მივიღებთ:

$$Q(y) \pm i = f_{0i} \cdot \frac{1-a_i \cdot y}{1-b \cdot y} \quad (11)$$

სადაც

$$f_{0i} = (f_0 \pm i); \quad a_i = \frac{f_0 \cdot a \pm i \cdot b}{f_0 + i} \quad (12)$$

გამოსახულება (11) გულისხმობს იმას, რომ ქანობების შემთხვევაში $\pm i$ (8) გამოსახულებაში საჭიროა (12)-დან განვსაზღვროთ მხოლოდ f_0 და a .

დღემდე არსებული წევის გაანგარიშების გრაფიკული მეთოდები, რომლებსაც გვთავაზობს წევის გაანგარიშების წესები, საკმარისად ზუსტია, ამიტომ ჩვენს მიერ შეთავაზებული წმინდა ანალიზური მეთოდით მიღებული შედეგები შედარებულ იქნება წ.გ.წ.-ის მეთოდთან. თუ (8) ჩავსამთ (4) და (6)-ში, ინიტიუგრირების შემდეგ საწყისი პირობების გათვალისწინებით, საერთო შემთხვევაში მივიღებთ:

$$\Delta \tau = \frac{1}{a^2 \cdot f_m} \cdot \left[(b-a) \cdot \ln \frac{1-a \cdot y}{1-a \cdot y_0} + b \cdot (a \cdot y - a \cdot y_0) \right] \quad (13)$$

$$\Delta x = \frac{1}{a^3 \cdot f_m} \cdot \left[(b-a) \cdot \ln \frac{1-a \cdot y}{1-a \cdot y_0} + (b-a) \cdot (a \cdot y - a \cdot y_0) + \frac{b}{2} \cdot ((a \cdot y)^2 - (a \cdot y_0)^2) \right] \quad (14)$$

სადაც Y_0 ფარდობითი სიჩქარის საწყისი მნიშვნელობაა.

დამოკიდებულებები $x = \varphi(Y)$ და $\tau = f(Y)$, რომლებიც განსაზღვრულია (13) და (14)-ში, მოყვანილია ნახ. 2-ზე და აღნიშნულია “ჯვრუბით”, გრაფიკული გზით მიღებული იგივე მონაცემები მრუდზე ასახულია “წერტილებით”.

x -ის დამოკიდებულება τ დროზე, შესაძლოა განისაზღვროს გრაფიკული მეთოდით, გამოვდიგართ რა ორი მრუდიდან $x = \varphi(Y)$ და $\tau = f(Y)$ -დან, (13) და (14)-ის საფუძველზე.

ცალკე შემთხვევაში, საჭიროებისას, ეს დამოკიდებულებები ასევე შეიძლება მივიღოთ გრაფო-ანალიზური მეთოდით $x = \varphi(Y)$ მრუდიდან დამოკიდებულების საფუძველზე:

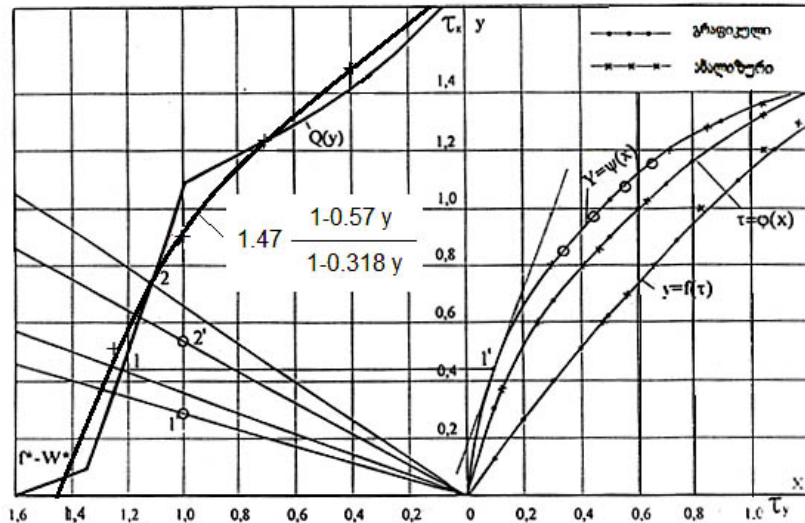
ეს დამოკიდებულებები ასევე შეიძლება მივიღოდ გრაფო-ანალიზური მეთოდით $y=f(x)$ მრუდიდან. დამოკიდებულებების საფუძველზე:

$$\frac{\Delta x}{Y_{\text{საშ}}} = \Delta \tau \quad (15)$$

ნახ. (2)-ზე (4) და (6) ანალიზური და გრაფიკული მეთოდით მიღებული შედეგების ანალიზი აჩვენებს მათ კარგ დამთხვევას.

თვალსაჩინოებისათვის ორივე მეთოდით მიღებული შედეგები მოყვანილია ცხრილ. 1-ში, საიდანაც ასევე ჩანს მათი კარგი დამთხვევა.

ამ შემთხვევაში სამუხრუჭო ამოცანის გადაწყვეტა ხდება, ასევე დიფერენციალური განტოლების (4), (5) და (6)-ის ინტეგრირებით, რომლებიც ასევე არაწრფივია.



ნახ. 2. გრაფიკული და შეთავაზებული ანალიზური ფორმულებით
მიღებული $x = f(Y)$ და $\tau = f(Y)$ მრუდები

ცხრილი 1

წევის რეჟიმის გაანგარიშება

Q(Y)	y	0	0.2	0.4	0.6	0.8	1.0	1.2	1.4
$f_m \cdot \frac{1-ay}{1-by}$	τ	0	0.1478	0.304	0.468	0.832	1055	1.055	1.353
	x_2	0	0.0149	0.0617	0.1437	0.438	0.682	0.682	1.076
გრაფ.	τ_5	0	0.15	0.3	0.47	0.84	1.08	1.08	1.37
	x_5	0	0.025	0.07	0.17	0.47	0.7	0.7	1.15

სამუხრავე ამოცანის გადაწყვეტისას $Q(Y)$ ფუნქციის ნაცვლად
გვექნება:

$$Q(Y) = W^* + b^* \pm i^*$$

W^* -სათვის ჩვენს მიერ დაწერილია ანალიზური გამოსახულება (7)
ფარდობით ერთეულებში.

მოგნახოთ ანალიზური გამოსახულება b^* , რომელიც ტოლი იქნება:

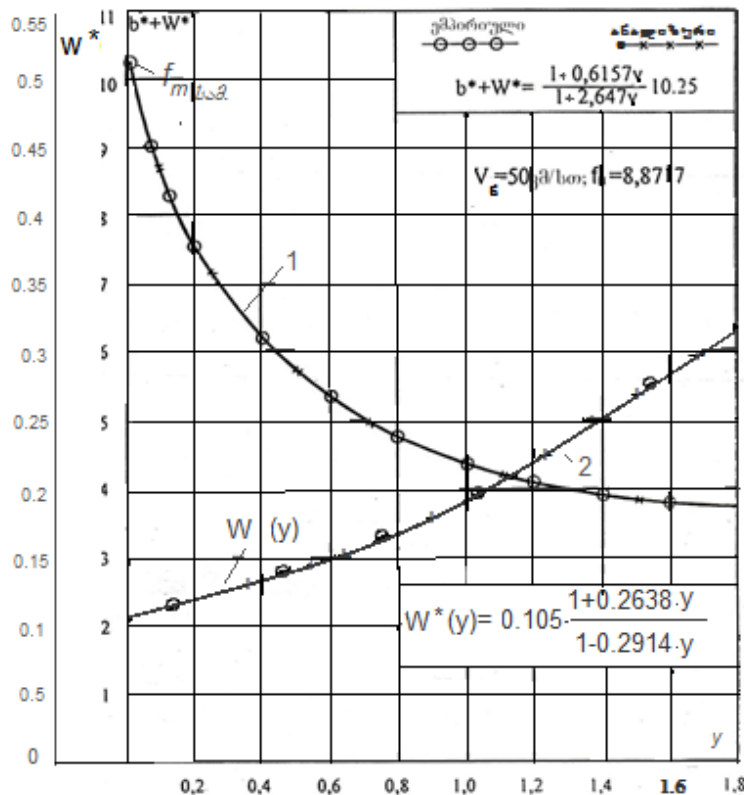
$$b^* = \frac{b}{f_6} = \frac{\varphi \cdot g \cdot 10^3}{f_6} = 0.27 \cdot \frac{V+100}{5 \cdot V+100} \cdot 0.33 \cdot \frac{10^3}{f_6}$$

$$b^* = \frac{90}{f_6} \cdot \frac{V_H \cdot Y + 100}{5 \cdot V_6 \cdot Y + 100} = \frac{90}{f_6} \cdot \frac{Y+2}{5 \cdot Y+2} \quad (16)$$

ჩავსვათ (7) (16)-ში და ავაგოთ დამოკიდებულება W^*+b^* ფარდობით სიჩქარესთან Y .

ეს მრუდი მოყვანილია ნახ. 3-ზე.

ბევრი სხვა ავტორისაგან განსხვავებით, რომლებიც უშეალოდ სვამებ ანალიზურ გამოსახულებას (W^*+b^*) ძირითად დიფერენციალურ განტოლება (7)-ში და ინტეგრირების შედეგად იღებენ როგორც განტოლებს, რომელთა გამოყენებაც დაკავშირებულია დიდი მოცულობის გამოთვლით სამუშაოებთან, ჩვენ გამოთვლების გამარტივებისათვის W^*+b^* მრუდს შევცვლით წილად-წრფივი ფუნქციით, რომლის ჩასმაც (4) და (5)-ის ინტეგრირების შედეგად გვაძლევს შედარებით მარტივ გამოსახულებებს.



ნახ. 3. ემპირიულად და ანალიზურად მიღებული $Y=f(W^*+b^*)$ და $Y=f(W^*)$ შემანელებელი ძალის მრუდები

მოვახდინოთ $W^*+b^*=Q(Y)$ დამოკიდებულების აპროქსიმაცია:

$$Q_{\text{სამ.}} = W^* + b^* = f_{m\text{სამ.}} \cdot \frac{1 + m \cdot y}{1 + n \cdot y} \quad (17)$$

სადაც $f_{m.\text{სამ.}}$, m და n – გედმივებია, რომლებიც განისაზღვრება ცნობილი მეთოდით $Q_{\text{სამ.}}(Y)$ მრუდიდან და შეესაბამება, ანალოგიურ გამოსახულება (9)-ს:

$$n = \frac{f_{m.\text{სამ.}}}{f_2 - f_1} \cdot \frac{A_1 \cdot y_2 - A_2 \cdot y_1}{y_1 \cdot y_2}; \quad m = \frac{1}{y_1} \cdot \left[A_1 + \frac{f_1}{f_{m.\text{სამ.}}} \cdot n \cdot y_1 \right], \quad (18)$$

$$\text{სადაც } A_1 = \frac{f_1 - f_{m.\text{სამ.}}}{f_{m.\text{სამ.}}}; \quad A_2 = \frac{f_2 - f_{m.\text{სამ.}}}{f_{m.\text{სამ.}}}$$

გადასარბენზე ქანობების არსებობის შემთხვევაში:

$$W^* + b^* \pm i = f_{m.i.} \cdot \frac{1 + m_i \cdot y}{1 - n \cdot y} \quad (19)$$

$$f_{b\text{.}s\text{.}i.} = (f_{m.\text{სამ.}} \pm i); \quad m_i = \frac{f_{m.\text{სამ.}} \cdot m \pm i \cdot n}{f_{m.\text{სამ.}} \pm i} \quad (20)$$

როგორც ეს ჩანს (19) და (20)-დან, აღნიშნული გამოსახულებები იმურებენ (11) და (12) გამოსახულებებს.

ნახ. 3-ზე წერტილები, რომლებიც შეესაბამება $Q_{\text{სამ.}}(Y)$ -ს, აღნიშნულია წრეებით და წერტილებით, რომლებიც შეესაბამება (24)-ს, აღნიშნულია “ჯვრებით”. როგორც ნახაზიდან ჩანს, დამთხვევა იდეალურია.

(17)-ის ჩასმით (4) და (6)-ში და ინტეგრირებით საბოლოოდ მივიღებთ:

$$\Delta \tau = \frac{1}{m^2 \cdot f_{m.\text{სამ.}}} \cdot \left[n \cdot (m \cdot y_0 - m \cdot y) - (n - m) \cdot \ln \frac{1 + m \cdot y_0}{1 + m \cdot y} \right] \quad (21)$$

$$\Delta x = \frac{1}{m^3 \cdot f_{m.\text{სამ.}}} \cdot \left[(m - n) \cdot (m \cdot y_0 - m \cdot y) - (n - m) \cdot \ln \frac{1 + m \cdot y_0}{1 + m \cdot y} + \frac{n}{2} \cdot ((m \cdot y_0)^2 - (m \cdot y)^2) \right] \quad (22)$$

Y -ის დამოკიდებულება τ და x ცვლადებზე, (21) და (22)-ის საფუძველზე. ჩატარებული ანგარიშის შედეგი მოყვანილია ცხრილ 2-ში. თვალსაჩინოებისათვის აღნიშნული გამოსახურების ანგარიშის შედეგი მოყვანილია ნახ. 4-ზე მრუდი 1 და მრუდი 2-ის სახით.

დამუხრუჭება

Y	1.8	1.6	1.4	1.2	1.0	0.8	0.6	0.4	0.2
τ	0	0.051	0.102	0.149	0.194	0.237	0.275	0.31	0.333
x	0	0.088	0.163	0.22	0.27	0.313	0.34	0.36	0.37

გორგის რეჟიმის გაანგარიშება

ამ შემთხვევაში მატარებლის ძირითადი წინააღმდეგობა იქნება $W^* \pm i^*$. (7) ჩასმით (4) და (5)-ში იტეგრირების შემდეგ $4c_1a_1 \geq b_1^2$ გათვალისწინებით მივიღებთ ამოცანის ზუსტ გადაწყვეტას, თუმცა ამ შემთხვევაში ანალიზური გამოსახულებები მიიღება რთული, რაც არ იძლევა შესაბამისად მარტივად τ და b -ის გამოთვლის საშუალებას, სხვა რომელიმე i^* ქანობის დროს, ნახ. 4-ზე მოყვანილი მრუდი 1 და მრუდი 2-ის გამოყენებით. ცნობილ სირთულეებს, რომლის შესახებაც ვისაუბრეთ თავის დასაწყისში, შეიძლება გვერდი აუაროთ, თუ მრუდ $W^*(y)$ ფუნქციას, როგორც წევის და სამუხრუჭო რეჟიმის შემთხვევაში შევცვლით ანალიზური გამოსახულებით წილად-წრფივი ფუნქციის სახით.

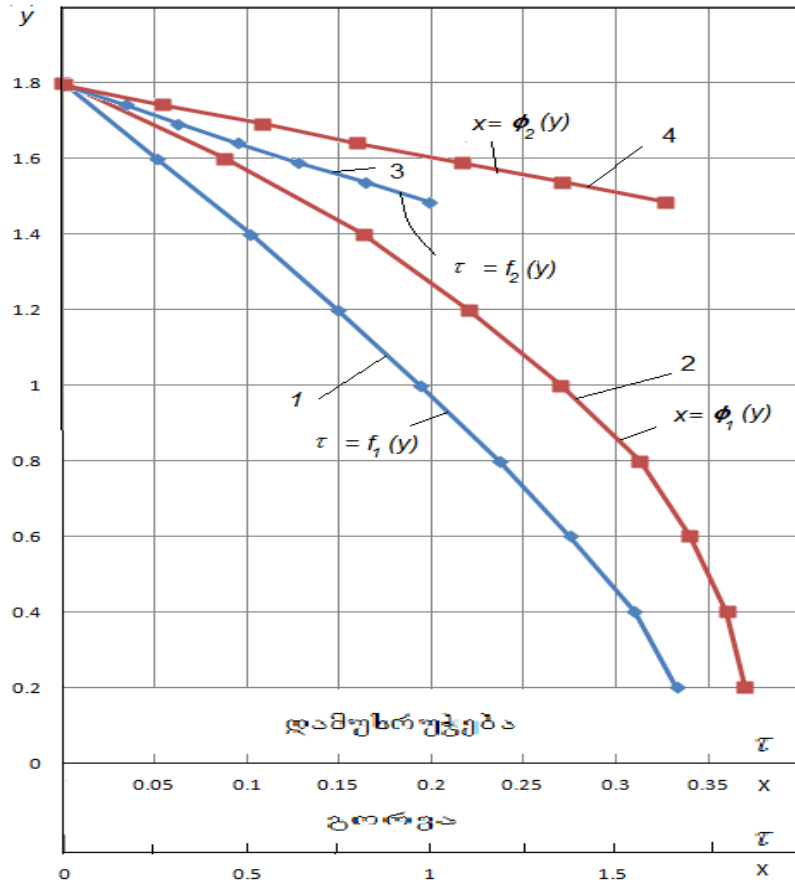
თუ ჩაგსვამთ რიცხობრივ მნიშვნელობებს a_1, b_1, c_1 , (7)-ში, გარდაქმნების შემდეგ საბოლოოდ მივიღებთ:

$$W^*(y) \pm i^* = 0.105 + 0.03776 \cdot y + 0.0479 \cdot y^2 \quad (23)$$

აქ აუცილებელია აღინიშნოს, რომ (23)-ში უგულებელვაკით სხვაობა a, b და c კოეფიციენტებს შორის წევის და გორგის რეჟიმის დროს.

ნახ. 3-ზე, მრუდი 2, რომელიც შეესაბამება (23)-ს, როცა $i^* = 0$. აღნიშნული მრუდის ზუსტი აპროქსიმაცია შესაძლებელია მოვახდინოთ ანალიზური გამოსახულებით

$$W^*(y) = W_0 \cdot \frac{1+m_1 \cdot y}{1-n_1 \cdot y} \quad (24)$$



ნახ. 4. τ და x -ის y -ზე დამოკიდებულების უნივერსალური მრუდები დამუსრუსებისას და გორგის დროს

წერტილები, რომლებიც შეესაბამება (24) გამოსახულებას, როცა $W_0 = 0,105$; $m_1 = 0,2638$; $n_1 = 0,2914$, აღნიშნულია „ჯვრებით”. როგორც ჩანს დამთხვევა იდეალურია.

m_1 და n_1 კოეფიციენტები განისაზღვრაბა საცდელი წერტილების მეშვეობით შემდეგი დამოკიდებულებების საფუძველზე:

$$n_1 = \frac{W_0}{W_1^* - W_2^*} \cdot \frac{A_1 \cdot y_2 - A_2 \cdot y_1}{y_1 \cdot y_2}; \quad m_1 = \frac{1}{y_1} \cdot \left[A_1 - \frac{W_1^*}{W_0} \cdot n_1 \cdot y_1 \right], \quad (25)$$

$$\text{სადაც } A_1 = \frac{W_1^* - W_0}{W_0}, \quad A_2 = \frac{W_2^* - W_0}{W_0}.$$

$\pm i$ ქანობის შემთხვევაში გამოსახულება (24) ექნება შემდეგი სახე:

$$W_i^*(y) = W_{0i} \cdot \frac{1 + m_{li} \cdot y}{1 - n_1 \cdot y} \quad (26)$$

$$W_{0,i} = (W_0 \pm i) ; \quad m_{1i} = \frac{m_1 \cdot W_0 \mp n_1 \cdot i}{(W_0 \pm i)} \quad (27)$$

(24)-ის ჩასმით ამოსავალ დიფერენციალურ განტოლებებში (4) და (6)-ში საწყისი და საბოლოო მნიშვნელობების გათვალისწინებით ინტეპ-რიორების შემდეგ საბოლოოდ მივიღებთ:

$$\tau = \frac{1}{m_1^2 \cdot W_0} \left[(m_1 + n_1) \cdot \ln \frac{1+m_1 \cdot y_0}{1+m_1 \cdot y} - n_1 \cdot (m_1 \cdot y_0 - m_1 \cdot y) \right] \quad (28)$$

$$x = \frac{1}{m_1^3 \cdot W_0} \left[(m_1 + n_1) \cdot (m_1 \cdot y_0 - m_1 \cdot y) - (m_1 \cdot n_1) \cdot \ln \frac{1+m_1 \cdot y_0}{1+m_1 \cdot y} - \frac{n_1}{2} \cdot ((m_1 \cdot y_0)^2 - (m_1 \cdot y)^2) \right] \quad (29)$$

როგორც (13), (14), (21), (22) და (28), (29) ფორმულებიდან ჩანს სტრუქტურის მიხედვით ისინი სავსებით ერთნაირია, მიუხედავად იმისა, რომ მოძრაობის სხვადასხვა რეჟიმებს აღწერენ. განსხვავება მხოლოდ ნიშნებშია და მუდმივი კოეფიციენტების სხვადასხვა მნიშვნელობებში, რომლებიც შედიან ამ ფორმულებში. ზემოთ აღნიშნული წარმოადგენს ჩვენს მიერ მოყვანილი ანალიზური მეთოდის მნიშვნელოვან უპირატესობას, წევის გაანგარიშების ჩატარების დროს.

(28) და (29)-ის საფუძველზე τ და x -ის დამოკიდებულება y -ზე, რომელიც მოყვანილია ნახ. 4-ზე, მრუდი 3 და მრუდი 4, გამოთვლილი მნიშვნელობები მოყვანილია ცხრილ 3-ში.

ცხრილი 3

გორგა

Y	1.8	1.75	1.7	1.65	1.6	1.55	1.5
τ	0	0.1694	0.3128	0.475	0.643	0.824	1.0
x	0	0.267	0.5433	0.8	1.09	1.365	1.645

ასევე განხილულია განხილულია თანამედროვე ეგ.მ.-ზე წევის გაანგარიშების ჩატარების პროცედურა. პრაგრამა MathCad 14-ის და მასში Excel-ის ელემენტების გამოყენებით შექმნილია სრულიად ახალი კომპიუტერული პროგრამა. ნახ. 5-ზე ნაჩვენებია $v(s)$ დამოკიდებულების აგება. მატარებლის მოძრაობის რეჟიმების მართვა ხდება მოძრაობის

რეჟიმების შესაბამისი ვირტუალური დილაკების გამოყენებით. ვირტუალურ დილაკზე „პროცესის დაწყება” „Click”-ით ეპრენზე გრაფიკულად მოიცემა გზის მუშა პროფილი (მრუდი 1) რომელზეც წარმოებს მატარებლის შემდგომი მოძრაობა მოცემული მიმართულებით. აღნიშნულის ვიზუალიზაცია ეხმარება ოპერატორს გზის პროფილის ელემენტის გათვალიწინებით მარტივი “Click”-ის მეშვეობით აირჩიოს მოძრაობის შესაბამისი (წვევა, თავისუფალი გორგა, სამოსამსახურეო ან ექსტრემალური დამუხხუჭება) რეჟიმი. $v(s)$ დამოკიდებულება (მრუდი 2) აიგება ვირტუალურ დილაკებზე ოპერატორის მანიპულაციებით. აგების ოპტიმიზაციისათვის ოპერატორს, რომ არ მოუწიოს ყოველი $h=1$ კმ/სთ ბიჯით მიღებული ΔS და Δt მნიშვნელობებით გრაფიკული ასახვისათვის „Click”-ის გაკეთება, გონივრულია მოხდეს რამდენიმე მნიშვნელობის ΔS და Δt შეკრება და მისი ერთ „Click”-ში მოქცევა. აღნიშნული ისე უნდა განხორციელდეს, რომ „Click”-ის ბიჯი იყოს ოპტიმალური და ოპერატორს აძლევდეს იმის საშუალებას აკონტროლოს მოძრაობის მრუდის აგების პროცესი. ჩვენს შემთხვევაში გამოიყენება „Click”-ის $h=5$ კმ/სთ-ს ბიჯი, რაც ნიშნავს იმას, რომ რომელიმე მოძრაობის რეჟიმის შესაბამის ვირტუალურ დილაკზე ერთი „Click”-ით ხორციელდება ΔS და Δt ერთ-დროულად $[v_0v]$ -ს ხუთი სიჩქარის მნიშვნელობისათვის ნაანგარიშები ΔS და Δt ჯამის ერთ „Click”-ში გაერთიანება და ასეთი სახით მიღებული შედეგების გამოყენება.

ნახ. 5-ზე ნაჩვენები ვირტუალური დილაკის „Stop 1” და „Stop 2” არჩევით ხორციელდება სადგურის ლიანდაგებში შემადგენლობის გაჩერების პროცესის მართვა (იხ. მრუდი 3) აღნიშნული დამუხუჭების მრუდი აიგება სამოსამსახურეო დამუხუჭების მონაცემების მეშვეობით მრუდის ზედა შეზღუდვა ვრცელდება მატარებლის კონსტრუქციული $v_{\text{კონ}}$ სიჩქარით. მრუდი 3-ის და მრუდი 2-ის გადაკვეთა როგორც გრაფიკული მეთოდით დროს ხდება ასრულებს $v(s)$ დამოკიდებულების ფორმირებას. „Stop 1” დილაკის გამოყენებით მატარებლის გაჩერება წარმოებს მთავარ ლიანდაგზე. მაშინ როცა მატარებელზე ვრცელდება სიჩქარეთა შეზღუდვა ისარზე მოძრაობისას, ვსარგებლობთ „Stop 2” დილაკით. v_0 და v -ის „Textbox”-ში შეგვევს ისართან მიახლოების და

მასზე უსაფრთხოდ მოძრაობის სიჩქარის მნიშვნელობები, საისრე მანძილის $L_{\text{ისარი}}$ და $L_{\text{გამ}}$ მატარებლის სიგრძე (θ). აღნიშნული მოქმედება იძლევა იმის საშუალებას, რომ მოვახდინოთ მატარებლის გაჩერება პრაქტიკაში მიღებული ნებისმიერი სცენარით. რაც პროგრამის უნივერსალურობაზე და მის დადებით მხარეზე მიუთითებს.

მატარებლის მოძრაობის დიფერენციალური განტოლების ინტეგრირება წმინდა გრაფიკული ან გრაფო-ანალიზური სახით $v(s)$, $v(t)$ ან $t(s)$ დამოკიდებულებების განსაზღვრას ემყარება. საზოგადოდ მიღებული გრაფიკული დამოკიდებულებების გაანალიზებით ხდება საჭირო ინფორმაციის მიღება, რაც მეტად საპასუხისმგებლო და ამასთან დამდლელი პროცესია. ერთია $v(s)$ დამოკიდებულების გრაფიკული აგება, რაც ქმნის მატარებლის მოძრაობის ვიზუალურ სურათს სხვადასხვა რეჟიმში მისი მოძრაობისას და მეორე, როცა გეომეტრიული მანიპულაციებით აიგება $v(t)$ ან $t(s)$ დამოკიდებულებები იმ მიზნით, რომ შემდეგ გრაფიკულად აგებული მრუდების გაანალიზებით მივიღოთ ინფორმაცია მოძრაობის დროის შესახებ. როცა ციფრული სახით პირდაპირ შესაძლებელია საჭირო ინფორმაციის მიღება, არაა აუცილებელი $v(t)$ ან $t(s)$ დამოკიდებულებების აგება და ამით ნახაზის გადატვირთვა. მოძრაობის დროის შესახებ სრული ინფორმაცია პროგრამაში მოიცემა ცხრილის სახით და v სიჩქარის ბიჯის სიმცირის გამო მიზანშეწონილია განისაზღვროს (წმ.)-ში, ხოლო მოძრაობის $v(s)$ მრუდის საბოლოო ფორმირების შემდეგ, მატარებლის მოძრაობის მთლიანი დრო განისაზღვროს (წმ.), რომელიც ნაჩვენებია ნახ. 7-ზე, “H” სვეტის ბოლოში.

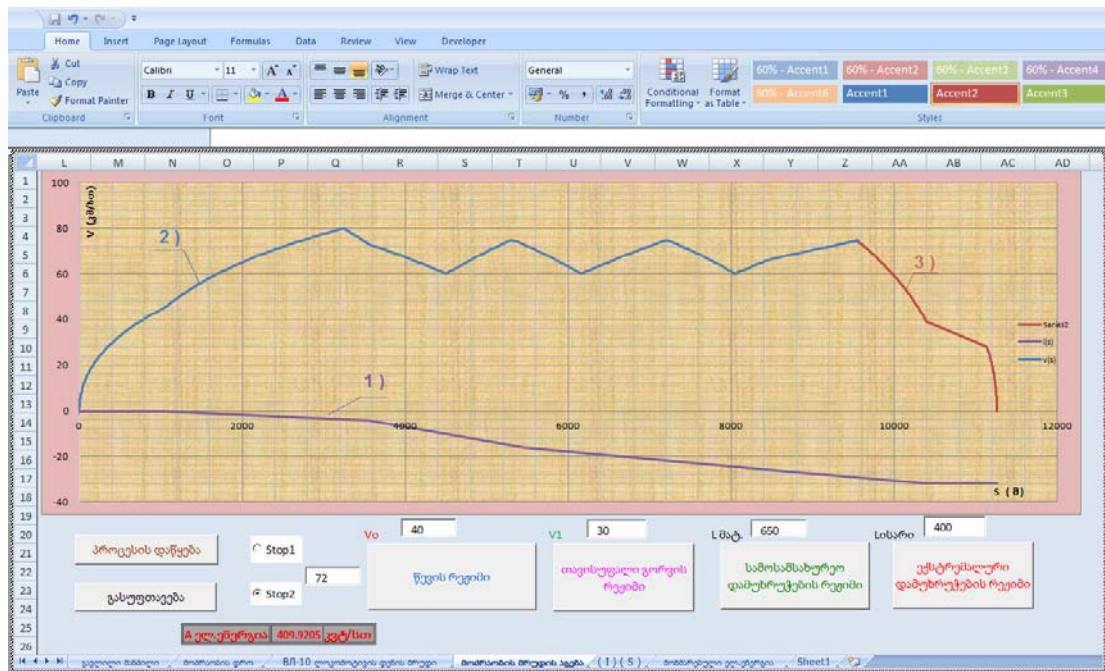
საზოგადოდ პროგრამა შექმნილია ერთი ფანჯრის პრინციპით, Microsoft Office Excel 2007-ის ცხრილის სხვადასხვა “Sheet”-ები ინფორმაციის გაცვლის ოვალსაზრისით ურთიერთდაკავშირებულია. ცხრილის “Sheet1” სახელწოდებით “გავლილი მანძილი”-ის Textbox-ებში მოცემულობაში მონაცემების შევვანით “Sheet2” – ში ანგარიშისათვის საჭირო ცვლადების ინპორტი “Sheet1”-დან ხორციელდება და არაა აუცილებელი “მოძრაობის დრო”-ს გაანგარიშებისათვის ცხრილის ამ ნაწილში დამატებით შევიყვანოთ რაიმე მონაცემი.

“Sheet4” -ში “მოძრაობის მრუდის აგება” ხორციელდება “Sheet 1” და “Sheet 2”-ის საშუალებით, სხვადასხვა მოძრაობის რეჟიმისათვის შექმნილი ცხრილიდან საჭირო ΔS და Δt მნიშვნელობების გამოყენებით.

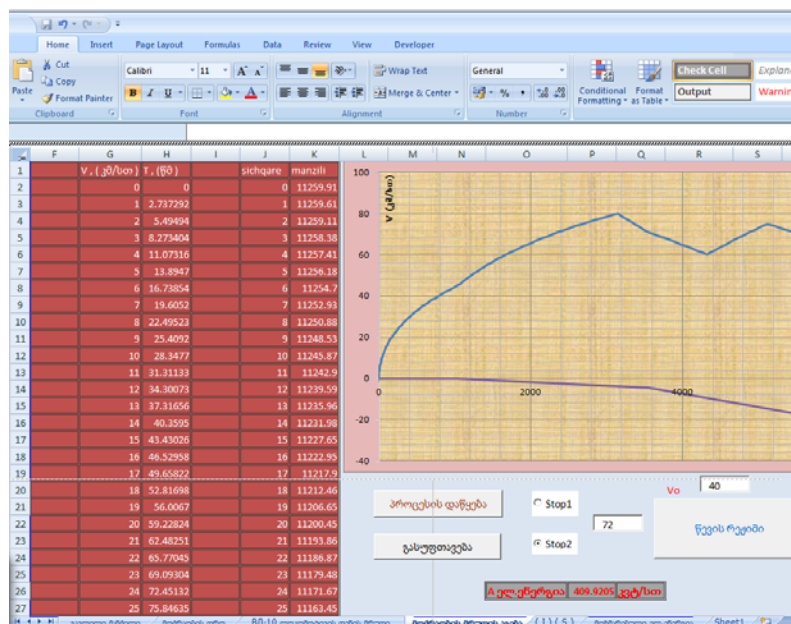
“Sheet5”-ში “(I)(S)” I ლოკომოტივის დენის S გავლილ მანძილზე დამოკიდებულების აგება ხორციელდება “Sheet 4” - დან (იხ. ნახ. 6 და ნახ. 7 ”D” და ”E” სვეტები) v (s) დამოკიდებულებისა და “Sheet 3” “BL-10 ლოკომოტივის დენის მრუდი”-ს “BL-10” ლოკომოტივის დენის მუშა მახასიათებლის გამოყენებით (იხ. ნახ. 8) I (S) მრუდის აგემა დაწვრილებითაა განხილული ნაშრომის 1.11.1 პარაგრაფში, პროგრამაში აღნიშნული მრუდის ილუსტრაცია ნაჩვენებია სურ. 9-ზე ანალიზური სახით მიღებული შედეგი ილუსტრირებულია სურ. 6-ზე ცხრილის ”A” და ”B” სვეტებში. პროგრამაში გრაფიკული ნაწილის ცალკე Sheet-ებში განთავსება და მათი შედეგის ერთ კონკრეტულ ცხრილში თავმოყრა, როგორც ეს ნაჩვენებია ნახ. 6-ზე (იხ. ”A:K” სვეტები). მეტად მოსახერხებელია წევის გაანგარიშების ჩატარების შემდეგ მონაცემების ანალიზისათვის.

ელექტრო მოძრავი შემადგენლობის მოხმარებული ელ. ენერგიის განსაზღვრა პროგრამაში ავტომატურად ხორციელდება მოძრაობის მრუდების აგების პარალელურად. ე.მ.შ. მოხმარებული ელ.ენერგიის განსაზღვრა ილუსტრირებულია ნახ. 5-ზე.

სურ. 10-ზე ნაჩვენებია ე.გ.მ.-ს ალგორითმი, რომელიც ახასიათებს წევის გაანგარიშების წარმოებისათვის საჭირო ოპერაციების შესრულების მიმდევრობას.



ნახ. 5. $v(s)$ დამოკიდებულების აგება მატარებლის მოძრაობის რეზიმების
მართვა ვირტუალური ლილაკების გამოყენებით

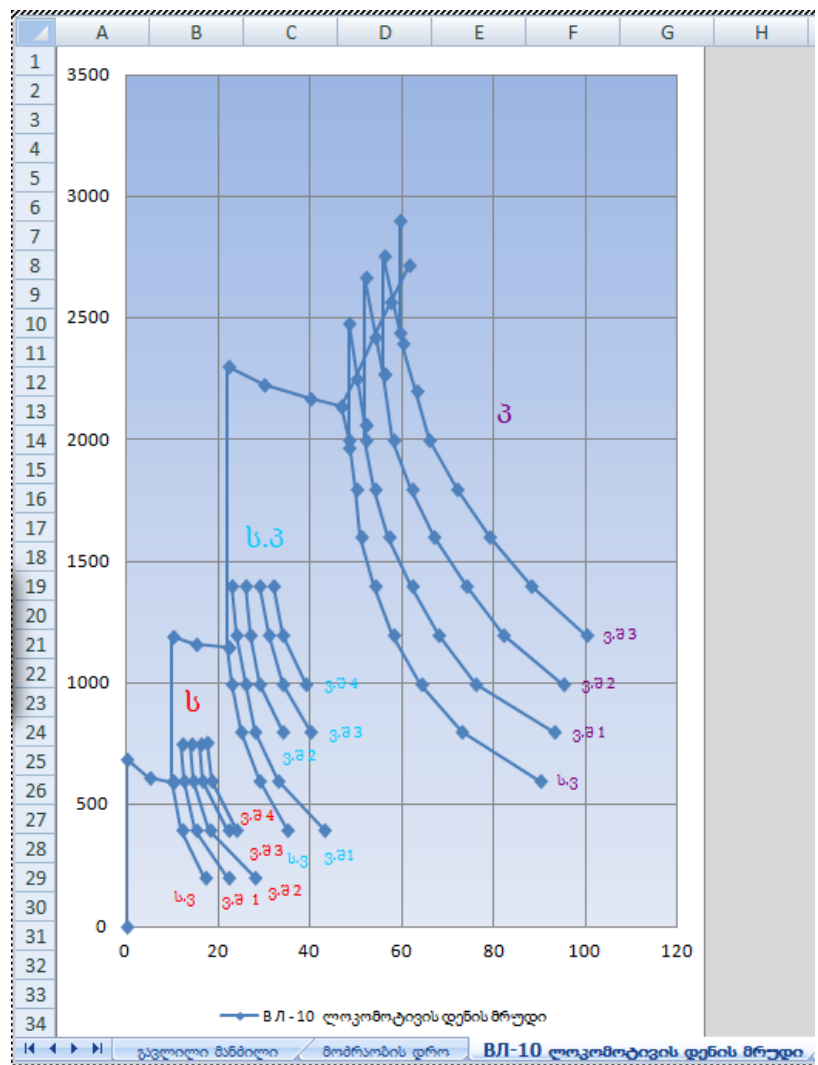


ნახ. 6. $v(s)$ მრუდის გამოყენებით მოძრაობის მახასიათებელი
სიღრიდეების მიღება და შეღეგების ანალიზი

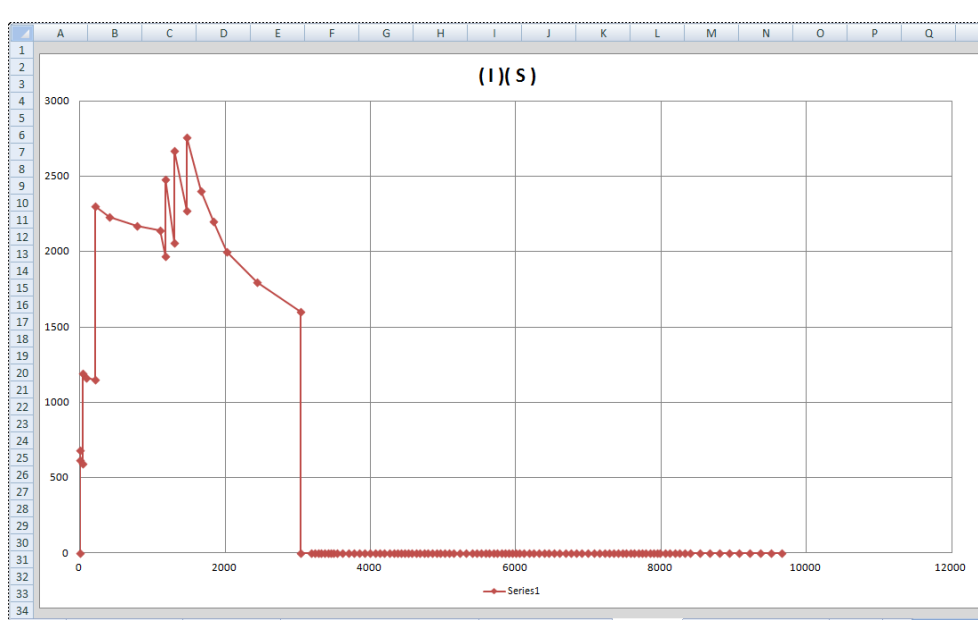
ასევე მოძრაობის მრუდების აგების პარალელურად მიმდინარეობს ლოკომოტივის ძრავის გახურებაზე შემოწმების პროცესი. ძრავის დასაშვებზე მეტად გახურების შემთხვევაში დისპლეიზე გამოდის შესაბამისი შეტყობინება “ძრავის გახურების ტემპერატურა ცილდება ნორმებს, შეცვალე მოძრაობის რეჟიმი” აღნიშნულის შეტყობინების საფუძველზე ოპერატორის მიერ ხორციელდება შემდგომი მოძრაობის რეჟიმების კორექტირება.

	F	G	H	I	J	K	L	M	N
149			73 484.0718			64 9871.942			
150			72 487.1398			65 9844.214			
151			71 490.1868			66 9815.95			
152			70 493.2127			67 9787.15			
153			69 496.2171			68 9757.812			
154			68 499.2			69 9727.936			
155			67 502.1611			70 9697.518			
156			66 505.1002			71 9666.559			
157			65 508.0172			72 9635.056			
158			64 510.9117						
159			63 513.7837						
160			62 516.6329						
161			61 519.4591						
162			60 522.2621						
163			61 526.0078						
164			62 529.7551						
165			63 533.5039						
166			64 537.2543						
167			65 541.0062						
168			66 544.7597						
169			67 548.5147						
170			68 561.8751						
171			69 575.2496						
172			70 588.6383						
173			71 602.0412						
174			72 615.4584						
175			Time (min)	12.65					

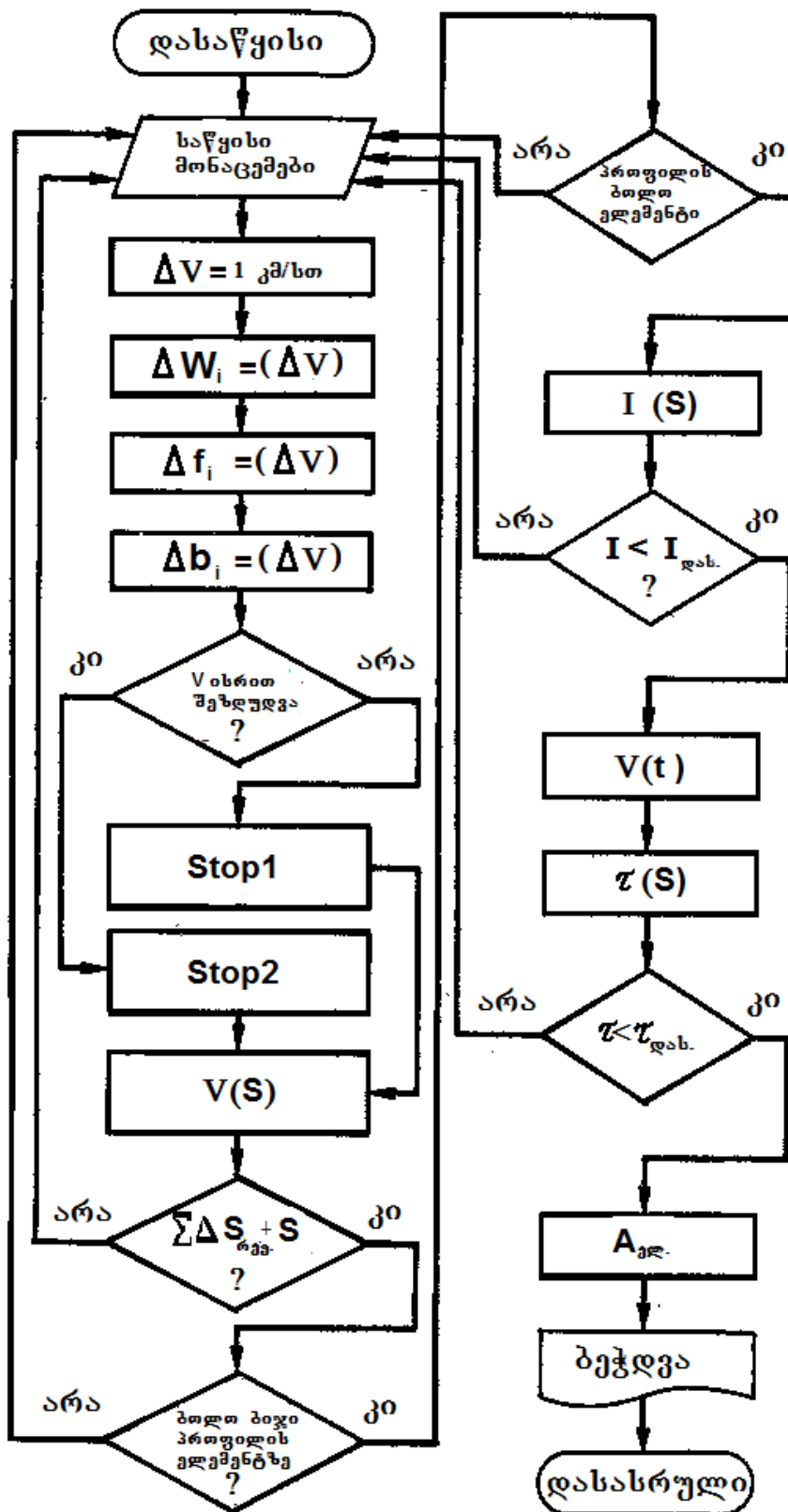
ნახ.7. მატარებლის t მოძრაობის დროის განსაზღვრა (წო).



ნახ. 8. ВЛ-10 ლოკომოტივის დენის მახასიათებელი



ნახ. 9. ВЛ-10 ლოკომოტივის I(S) მრუდი



ნახ. 10. ე.გ.მ-ზე წევის გაანგარიშების წარმოების პროგრამული და ლოგიკური მოქმედებების ალგორითმის ბლოკსქემა

მირითადი დასკვნები

ნაშრომის შესრულების საფუძველზე ჩამოყალიბდა შემდეგი ძირითადი დასკვნები:

1. ნებისმიერი, მათ შორის წევის გაანგარიშებისათვის ანალიზური ან გრაფიკული მეთოდით, ან ე.გ.მ.-ის საშუალებით შეთავაზებულია გამოვიყენოთ ძირითადი დიფერენციალური განტოლებები ჩაწერილი ფარდობით ერთეულებში.

2. ფარდობითი ერთეულების გამოყენება საშუალებას იძლევა უარი ითქვას ცვლადების მასშტაბებისათვის. გაანგარიშების შედეგები, ამასთან ერთად, იქნება უნივერსალური ხასიათის მოცემული გზის პროფილისათვის.

3. ძირითადი განტოლების ანალიზიკურად გადაწყვეტისათვის შეთავაზებულია ამაჩქარებელი ძალის მახასიათებლის აპროქსიმაცია მოვახდინოთ ერთი წილად-წრფივი ფუნქციით, რომელიც სხვა ცნობილ ფუნქციებზე უკათ ახდენს რეალური ამაჩქარებელი ძალის მახასიათებელის აპროქსიმაციას.

4. სამუხრუჭო და გორგის რეჟიმის გაანგარიშებისათვის შეთავაზებულია ამ რეჟიმის ემპირიული ფორმულები ასევე შევცვალოთ იგივე სახის წილად-წრფივი ფუნქციით.

5. ე.გ.მ.-ის გამოყენებით მოსამზადებელი სამუშაოს ჩატარების დროს გზის პროფილის ელემენტებზე გამოთვლების ცდომილების შემცირების მიზნით მიზანშეწონილია უარი ვთქვათ პროფილის ელემენტების გაერთიანებაზე.

6. ამაჩქარებელი და შემანელებელი ძალების წილად-წრფივი ფუნქციით აპროქსიმაციის შედეგად მიღებული ანალიზური გამოსახულებები საშუალებას იძლევა მაღალი სიზუსტით განვსაზღვროთ ე.გ.მ. -ზე ΔS გზის და Δt მოძრაობის დროის სეგმენტური მნიშვნელობები სიჩქარის $\Delta V=1$ კმ/სთ ბიჯით.

7. მატარებლის მოძრაობის დროის შესახებ სრული ინფორმაცია ე.გ.მ.-ის პროგრამაში შეთავაზებულია მოიცეს ცხრილის სახით და $\Delta V=1$ კმ/სთ სიჩქარის ბიჯის სიმცირის გამო მიზანშეწონილია განისაზღვროს

(წმ.)-ში, ხოლო მოძრაობის $v(s)$ მრუდის საბოლოო ფორმირების შემდეგ, მატარებლის მოძრაობის მთლიანი დრო განისაზღვროს (წო.)

8. ე.გ.მ.-ზე წევის გაანგარიშებისას შეთავაზებულია მატარებლის მოძრაობის საჭირო რეჟიმის არჩევა მოხდეს მართვის ვირტუალური დილაკების გამოყენებით, რითაც მიიღწევა გაანგარიშების პროცესების თვალსაჩინოდ წარმოება და ვიზუალიზაცია.

**დისერტაციის ძირითადი შინაარხის ასახულია
შემდეგ პუბლიკაციებში**

33. ს. კარიპიძისი, თ. მაღლაკელიძე, პ. ბარბაკაძე, დ. სანიკიძე. მოტორ-გენერატორულ სისტემაში მიმდევრობითი და შერეული აღგზების გენერატორის ავტორევენების შესახებ. ტრანსპორტი და მანქანათმშენებლობა ISSN 1512-3537 სამუცნიერო-ტექნიკური ჟურნალი №2 (10) 2008 გვ. 18-29.
34. С. Кариpidis, Т. Maglakelidze, П. Barbakadze, Дж. Санникидзе, Ю. Схиртладзе. Применение методов фазовой плоскости для исследования различных режимов работы тяговых машин последовательного возбуждения. «Транспорт и машиностроение» ISSN 1512-3537 Научно-технический журнал. №4 (12) 2008. с 48-66.
35. С. Кариpidis, Ш. Хурцилава, Дж. Санникидзе, Ю. Схиртладзе, П. Барбакадзе. Статический преобразователь для питания обмоток возбуждения тяговых двигателей электровозов постоянного тока и цепей управления. Транспорт. Научно-технический журнал. ISSN 1512-0910. ООО «Транспорт». 2008 г. №3-4 (31-32). с 3-7.
36. С. Кариpidis, Ш. Хурцилава, Дж. Санникидзе, Ю. Схиртладзе, П. Барбакадзе. Статический преобразователь для вспомогательных цепей и прочих нагрузок электропоездов постоянного тока. Транспорт. Научно-технический журнал. ISSN 1512-0910. ООО «Транспорт». 2008 г. №3-4 (31-32). с 7-11.
37. С. Кариpidis, Т. Maglakelidze П. Barbakadze. Метод расчета величины эквивалентного активного сопротивления контура вихревых токов

A b s t r a c t

Integration of nonlinear differential equation of motion is a basis of electric traction calculation. Since equations of motion are nonlinear and even today solution of similar equations is not possible by the form that is capable in case of linear differential equations, a lot of specialists turned to and turns at this moment to approach (asymptotic) methods of all types. Besides, because of various limitations, as well as of weakening of traction force field and so on part of resulting traction indices becomes kinked and has nonlinear form, that creates additional problems during solution of the problem (task). Because of this, unfortunately graph-analytical (calculation-analytical) methods represent main methods of integration of differential equation. These methods are described in scientific literature as the only and single source. In the XXI century when computer equipment penetrates in all spheres of human's activity, it is necessary to lay an emphasis on new methods with use of modern computers. It should be noted that approximation of current known accelerating and decelerating forces can't provide exact change of real curves and after integration we finally get complex expression, which is useless for carrying out of calculation processes, including the ones with the use of computer, since it requires availability of database massive in large quantities, implementation of interrelation of which will be complicated and in some cases impossible without qualified skilled programmer. Current analytic expressions are not of all-purpose (universal) character and formulas determining accelerating and decelerating forces for more than hundred years are given in specific units (kgf/t). According to current methods during programming on computer is necessary to find out corresponding conversion coefficients, that are recommended by Ministry of Railways (Soviet Union) in the tabular form, that create additional problems in the process of programming. Because of this fact at this moment is more simple to use graph-analytical or pure graphical methods instead of analytic ones, that by their accuracy are sufficient for practical calculations and are recommended for calculation of electric traction by Ministry of Railways.

New analytic methods cited in the thesis work, which are based on the approximation of accelerating and decelerating forces by fractionally linear function, allow us to easily receive simple expressions, which will be of universal character and useful for implementation of any works, both by means of computer, and of "calculator", that has got elementary functions.

Use of relative units allow to reduce to the minimum the number of variables in the equation and probability of probable errors, since the place of every variable in the equation is well known as a rule. Result of solution is of universal character and allows to get necessary data in the units necessary for us without any geometric manipulation and without carrying out of labour-consuming analysis on the scaled paper.